

図 5.7 目安線量相当濃度の累積分布関数 (Tc-99m)

以下の経路では、溶融時には排気筒から放出されないとしているため結果が得られない。

可燃物(溶融炉周辺-農作物、子ども)、可燃物(溶融炉周辺-畜産物、成人)、可燃物(溶融炉周辺-畜産物、子ども)

以下の経路では、半減期が短いため評価結果が図の範囲に入らない。

跡地利用(農作物、成人)、跡地利用(農作物、子ども)、地下水(養殖淡水産物、成人)、地下水(養殖淡水産物、子ども)

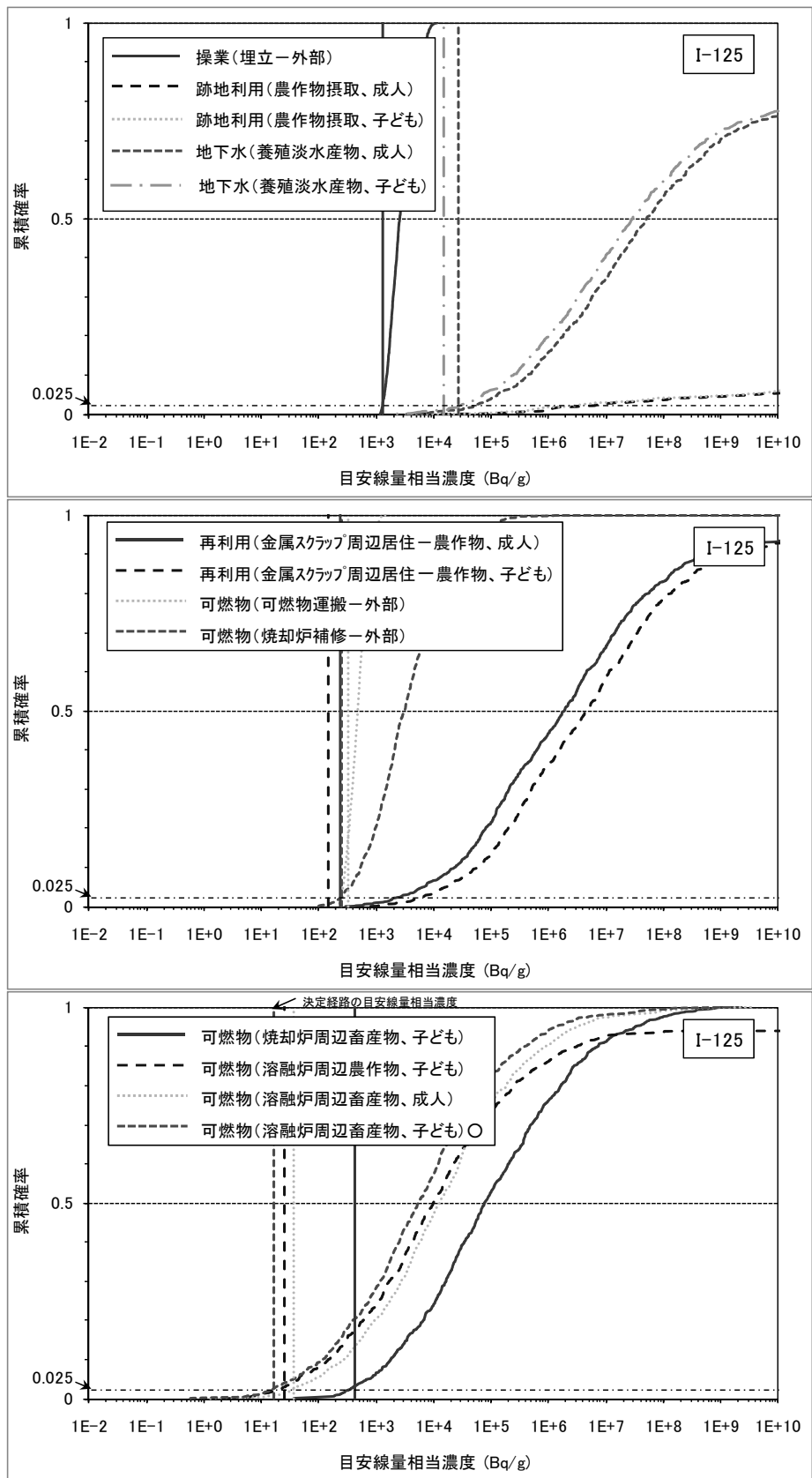


図 5.8 目安線量相当濃度の累積分布関数 (I-125)

以下の経路では、半減期が短いため評価結果が図の範囲に入らない。
 跡地利用(農作物、成人)、跡地利用(農作物、子ども)

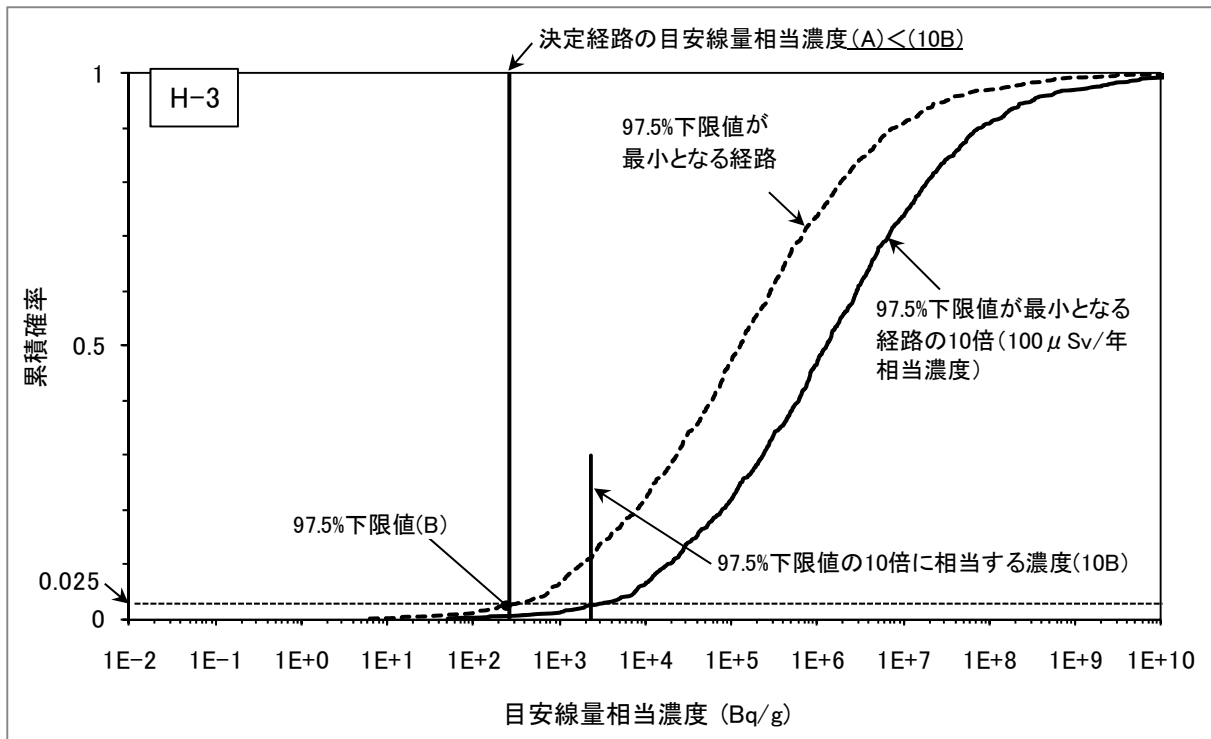


図 5.9 シナリオ妥当性評価結果 (H-3)

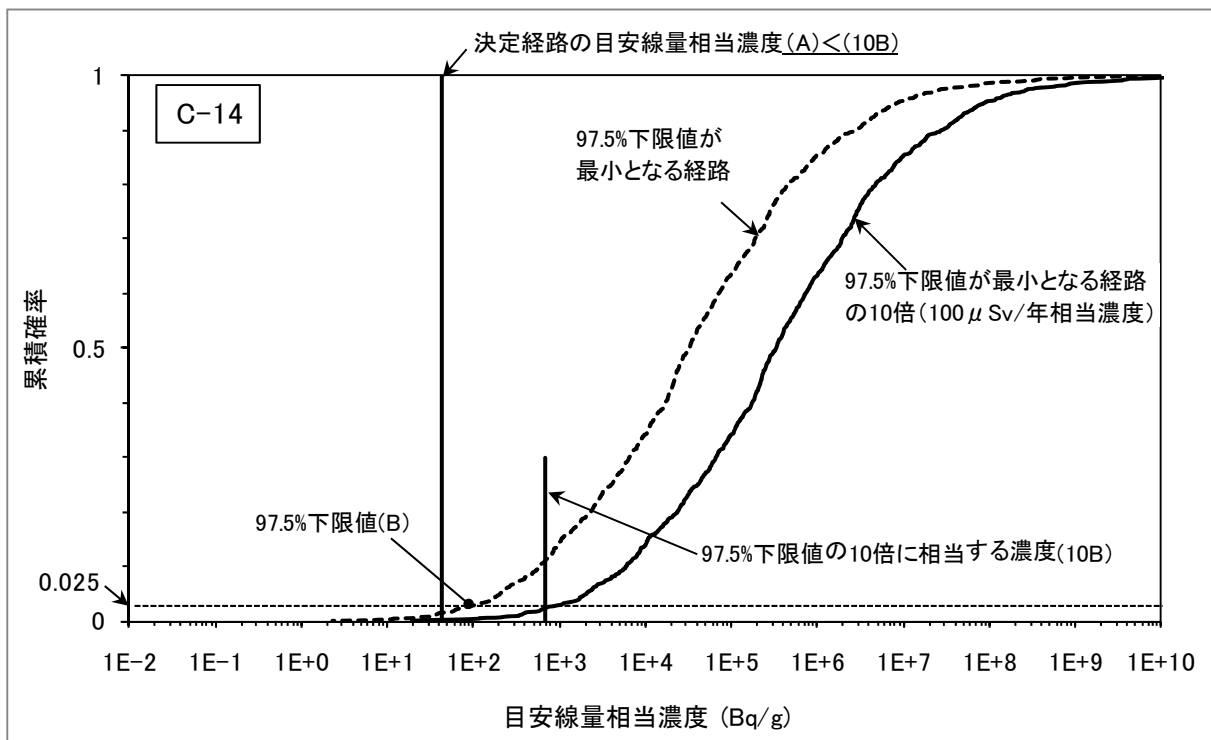


図 5.10 シナリオ妥当性評価結果 (C-14)

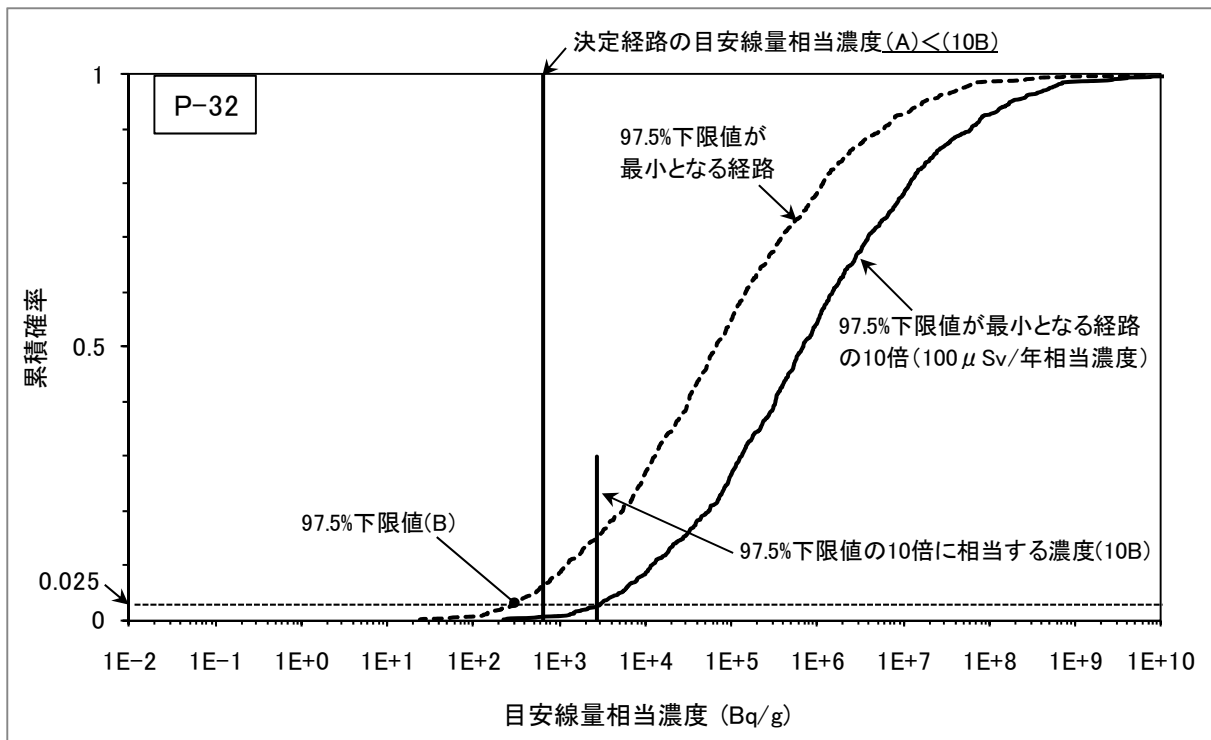


図 5.11 シナリオ妥当性評価結果 (P-32)

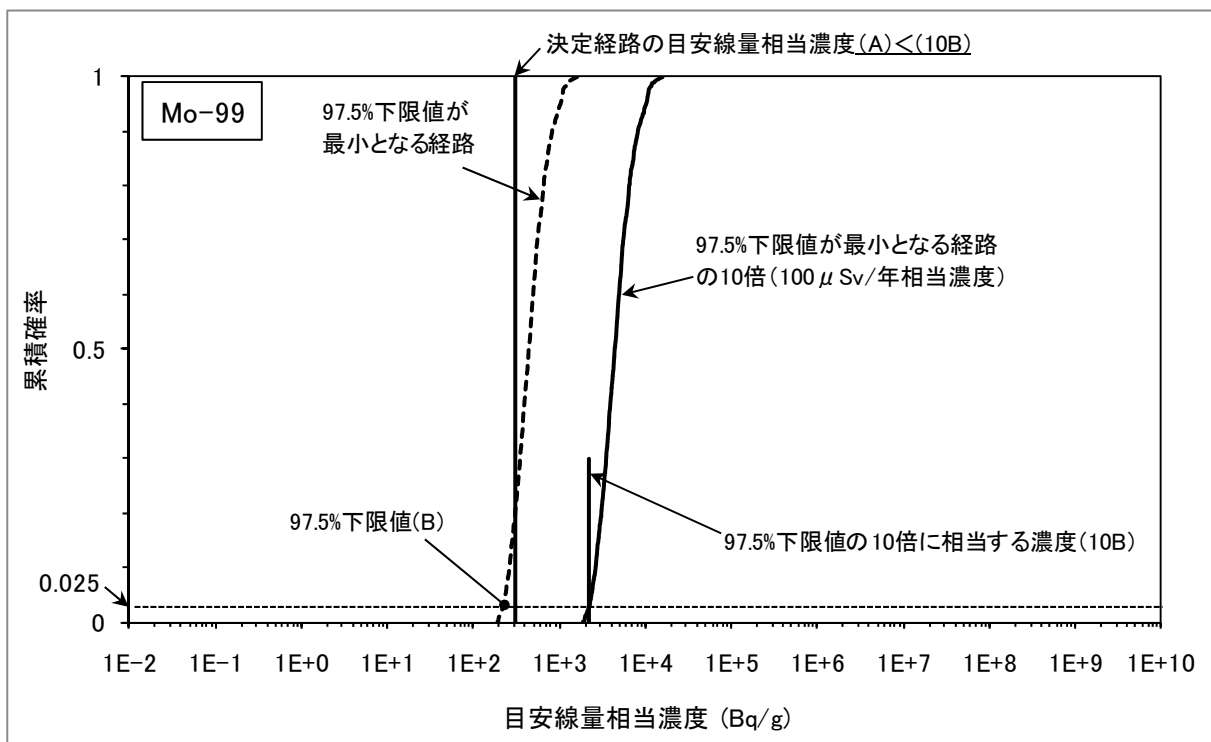


図 5.12 シナリオ妥当性評価結果 (Mo-99)

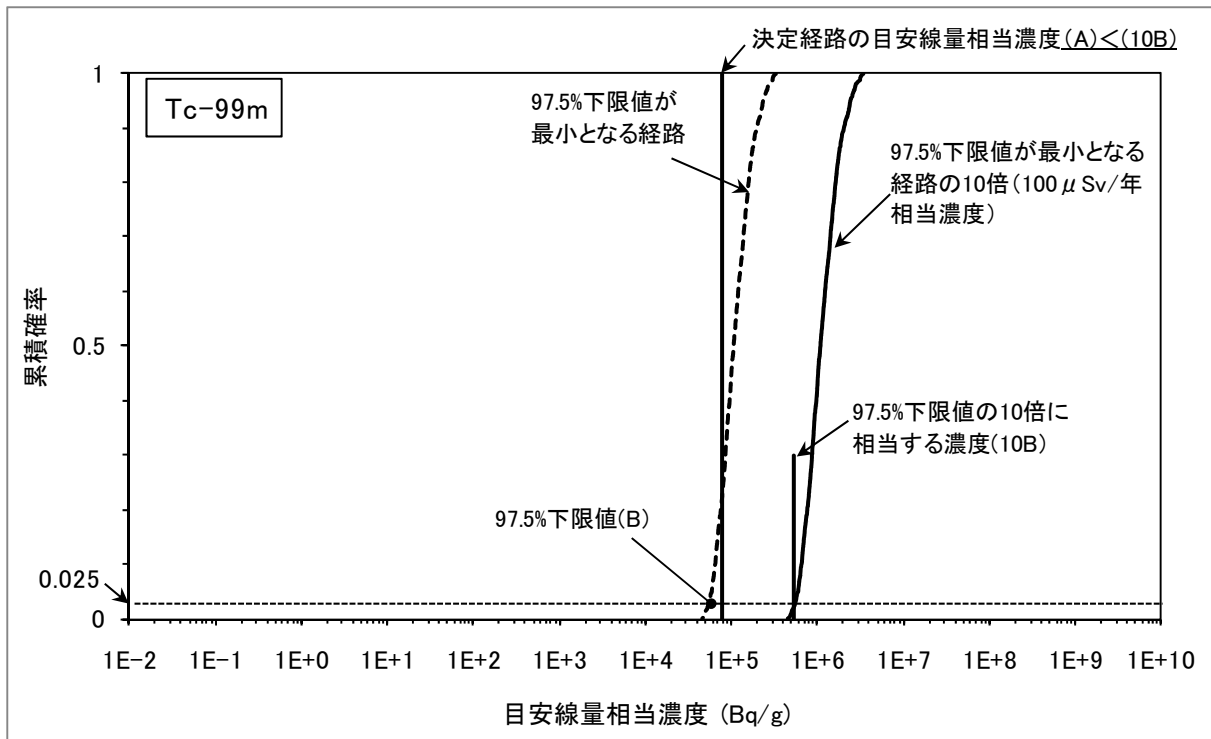


図 5.13 シナリオ妥当性評価結果 (Tc-99m)

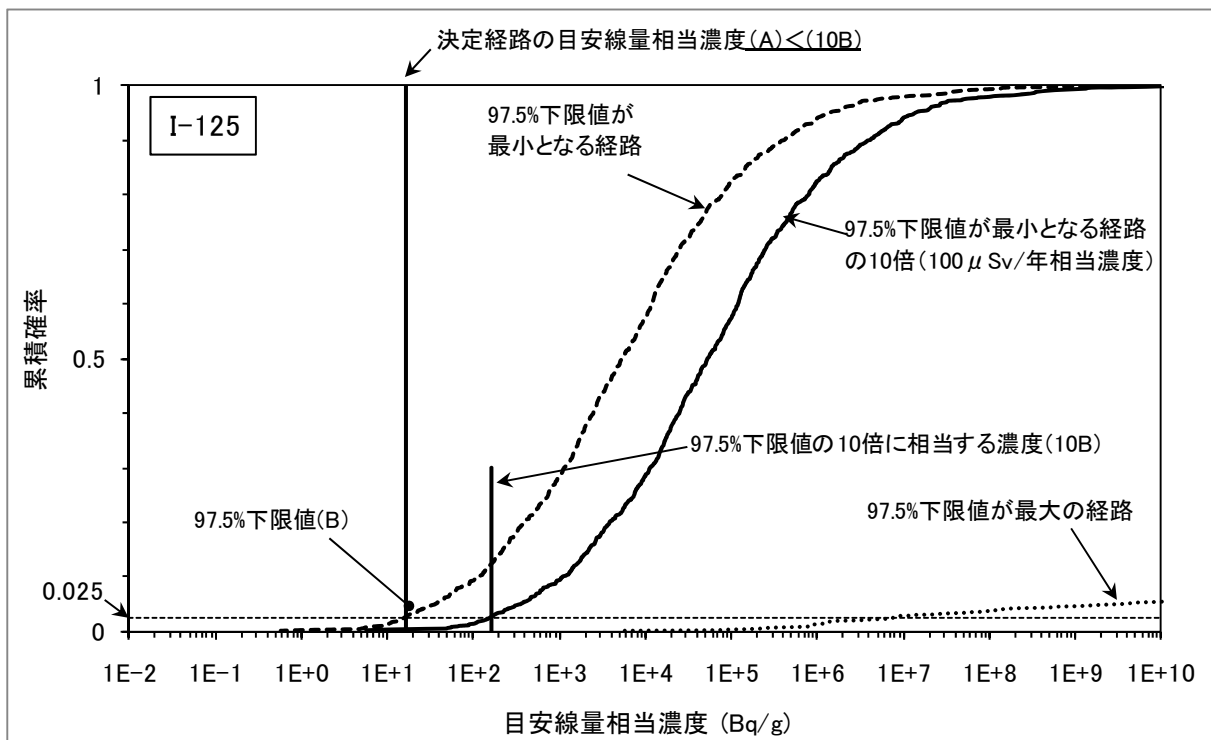


図 5.14 シナリオ妥当性評価結果 (I-125)

表 5.28 決定論的解析による試算結果と 97.5%下限値の比較

核種	決定論的解析による結果		97.5%下限値の最小値		確認 (A/B < 10)
	決定経路名	最小値 (Bq/g) (A)	97.5%下限値が最小 となる経路名	最小値 (Bq/g) (B)	
H-3	跡地利用（農作物、子ども）	270	可燃物（溶融炉周辺-畜産物、子ども）	240	○
C-14	地下水（養殖淡水産物、子ども）	42	可燃物（溶融炉周辺-畜産物、子ども）	70	○
P-32	可燃物（焼却炉周辺-畜産物、子ども）	650	可燃物（焼却炉周辺-畜産物、子ども）	270	○
Mo-99	可燃物（可燃物運搬-外部）	310	可燃物（可燃物運搬-外部）	220	○
Tc-99m	可燃物（可燃物運搬-外部）	7.8×10^4	可燃物（可燃物運搬-外部）	5.5×10^4	○
I-125	可燃物（溶融炉周辺-畜産物、子ども）	16	可燃物（溶融炉周辺-畜産物、子ども）	16	○

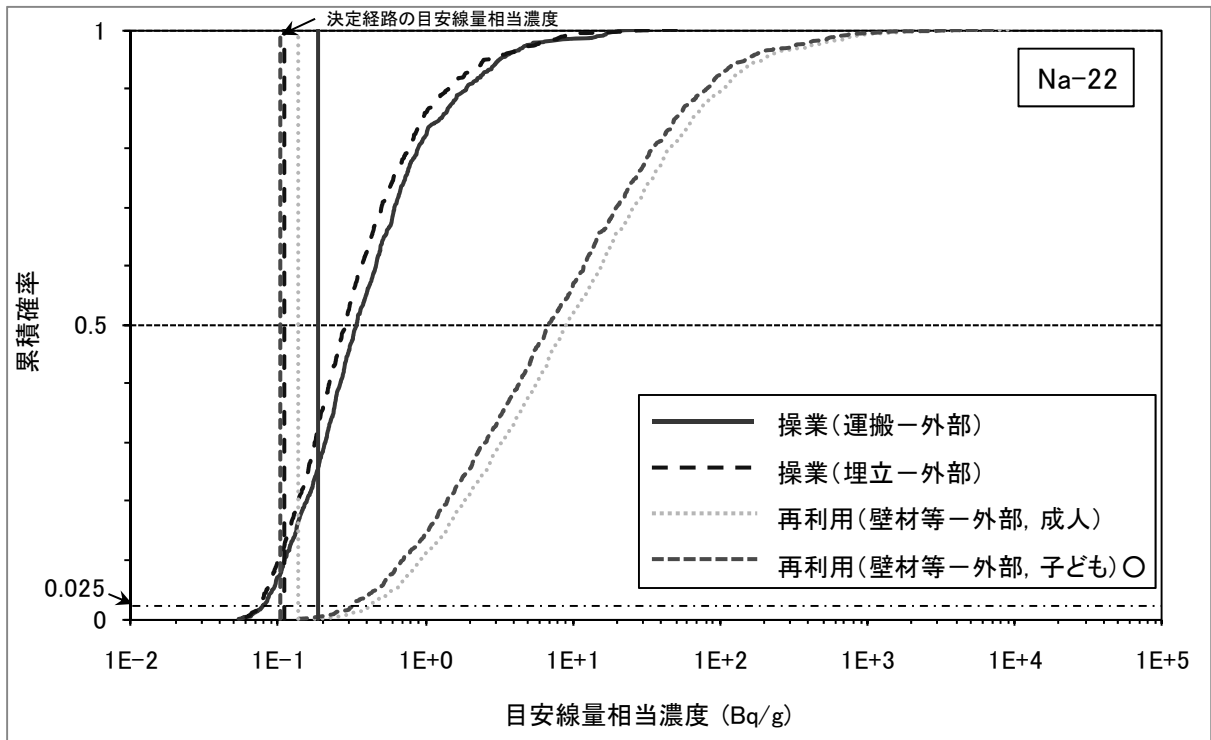


図 5.15 目安線量相当濃度の累積分布関数 (Na-22)

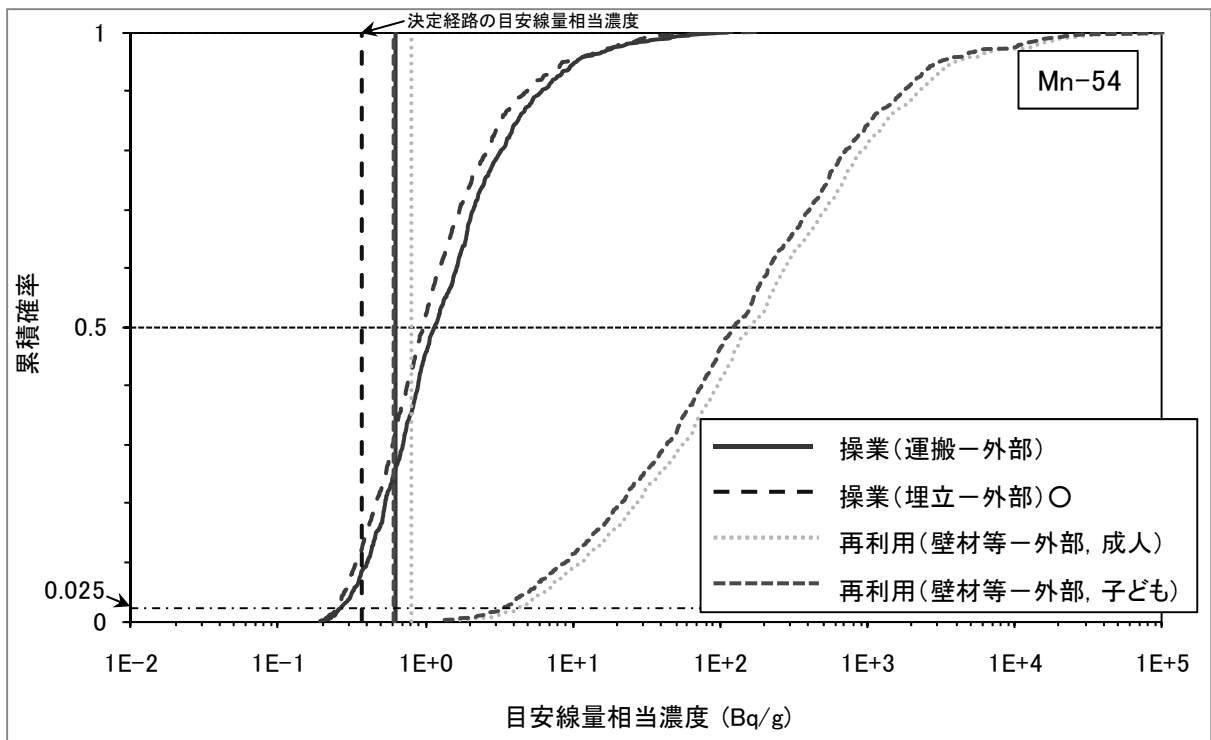


図 5.16 目安線量相当濃度の累積分布関数 (Mn-54)